

УДК 537.612.2

ТОРОИДАЛЬНЫЕ МОДЕЛИ МАГНИТНОГО ПОЛЯ С ВИНТОВОЙ СТРУКТУРОЙ

А.С. Петухова¹, И.С. Петухов¹, С.И. Петухов¹

TOROIDAL MODELS OF MAGNETIC FIELD WITH A TWISTED STRUCTURE

A.S. Petukhova¹, I.S. Petukhov¹, S.I. Petukhov¹

¹Институт космofизических исследований и аэрoнoмии им. Ю.Г. Шaфepa
Сибирского oтделения Российской Академии наук, Якутск, Россия, i_van@ikfia.ysn.ru

¹Yu.G. Shafer Institute of Cosmophysical Research and Aeronomy of SB RAS, Yakutsk,
Russia, i_van@ikfia.ysn.ru

Аннотация. Представлены и обсуждаются свойства следующих моделей магнитного поля в магнитном облаке: решение Миллера и Тернера, модифицированное решение Миллера и Тернера, тороидальная и интегральная модели Ромашеца и Вандаса, модель Криттинама и Руффоло. Магнитное поле во всех моделях обладает винтовой структурой, что является главным признаком магнитного облака. Первые три модели описывают магнитное поле внутри заданного идеального тора. В интегральной модели параметры образующего тора неоднозначно определяют объем и форму области, занятую магнитным полем. В модели Криттинама и Руффоло радиус сечения тора имеет переменное значение, что лучше соответствует реальной форме магнитных облаков во внутренней гелиосфере. Модели могут быть использованы при интерпретации прямых измерений компонент магнитного поля, изучении Форбуш понижений в магнитных облаках и исследовании распространения солнечных энергичных частиц, сопровождающих выбросы коронального солнечного вещества.

Ключевые слова: модели поля магнитного облака, бессилое магнитное поле, силовые линии магнитного поля, тороидальное магнитное поле, магнитное облако.

Abstract. We present and discuss properties of the following magnetic field models in a magnetic cloud: Miller and Turner solution, modified Miller and Turner solution, Romashets and

36 Vandas toroidal and integral models, and Krittinatham and Ruffolo model. Helicity of the
37 magnetic field in all models is the main feature of magnetic clouds. The first three models describe
38 the magnetic field inside an ideal torus. In integral model, the parameters of a generating toroid
39 ambiguously determine the volume and form of the magnetic field region. In Krittinatham and
40 Ruffolo model, the cross-section radius of the torus is a variable, thus, it better corresponds to the
41 real form of magnetic clouds in the inner heliosphere. These models can be used to interpret in-
42 situ observations of the magnetic flux rope, to study Forbush decrease in magnetic clouds and to
43 investigate transport effects of solar energetic particles injected inside a coronal mass ejection.

44 **Keywords:** magnetic flux rope models, force-free magnetic field, magnetic field line,
45 toroidal magnetic field, magnetic cloud.

46 **Введение**

47 Выбросы коронального солнечного вещества в межпланетном пространстве называют
48 ICME (Interplanetary coronal mass ejection). Вместе с веществом выносятся солнечные
49 магнитные петли, имеющие винтовую структуру магнитных силовых линий – MFR (Magnetic
50 flux rope). Научный интерес в исследовании MFR обусловлен тем, что MFR: 1) определяет
51 свойства окружающей плазмы; 2) сильно влияет на распространение в межпланетном
52 пространстве солнечных и галактических космических лучей; 3) при взаимодействии с
53 магнитосферой определяет уровень геомагнитной активности. Практический интерес в
54 исследовании MFR состоит в том, что солнечные, галактические космические лучи и
55 геомагнитная активность определяют состояние космической погоды, влияющей на
56 безопасную деятельность оборудования, технологических система и людей. Объем ICME,
57 занятый MFR вместе с солнечным веществом, называют магнитным облаком (МО). МО
58 занимает весь объем ICME либо его значительную часть [Marubashi, Lepping, 2007]. При
59 исследовании процессов, протекающих в МО, необходимо использовать модель MFR. В
60 настоящее время разработано несколько моделей MFR, имеющих разные свойства. Часто
61 используемый метод выявления МО основан на сопоставлении прямых измерений компонент
62 магнитного поля и модели MFR [Burlaga, 1988, Lepping et al., 1990, Farrugia et al., 1993, Leither
63 et al., 2007, Demoklin et al., 2008]. Результаты зависят от модели MFR. К примеру, параметры
64 МО, полученные из анализа прямых измерений на основе цилиндрической и тороидальной
65 моделей MFR, существенно различаются между собой [Marubashi, Lepping, 2007]: 1)
66 ориентацией оси магнитного поля облака; 2) радиусами поперечного сечения (радиус в
67 тороидальной модели меньше). Разные модели MFR используют в исследовании
68 распространения галактических космических лучей в МО: Kuwabara и др. [2004] –
69 цилиндрическую, Петухова и др. [2015] – тороидальную.

70 В представленной работе приведены и сопоставлены свойства 5-и моделей MFR.

Модель бессилового магнитного поля

В качестве модели MFR часто используют бессиловое магнитное поле. Бессиловое магнитное поле удовлетворяет соотношению $\vec{j} \times \vec{B} = 0$, где \vec{j} – плотность электрического тока, \vec{B} – напряженность магнитного поля. Отсюда следует, что ток течет вдоль поля $\vec{j} \sim \vec{B}$. С учетом уравнений Максвелла систему уравнений, определяющих бессиловое магнитное поле, можно записать в виде

$$\vec{\nabla} \times \vec{B} = \alpha \vec{B}, \quad \vec{\nabla} \vec{B} = 0 \quad (1)$$

где α – скаляр. В том случае, когда α является постоянной величиной или зависит от координат, поле называется линейным или нелинейным соответственно. Второе уравнение из (1) учитывает условие соленоидальности.

В реальных магнитных облаках установить бессилового характер магнитного поля затруднительно. В теоретических моделях близость магнитного поля к бессиловому определяют по величине угла между \vec{B} и $\vec{\nabla} \times \vec{B}$: в бессиловом поле этот угол равен нулю [Vandas, Romashets, 2015].

Решение Лундквиста

Решение системы уравнений (1) для бесконечно протяженного цилиндра представил Лундквист [1950]. Компоненты линейного бессилового поля в цилиндрической системе координат имеют вид

$$B_\rho = 0, \quad B_\theta = -AJ_1, \quad B_z = AJ_0,$$

где J_0, J_1 – функции Бесселя первого рода, нулевого и первого порядков; $A = \pm B_0$, B_0 – напряженность поля на оси цилиндра; $\alpha\rho$ – аргумент функций Бесселя; ρ – расстояние от оси цилиндра; $\alpha = \pm 2.41/\rho_0$, ρ_0 – радиус поперечного сечения цилиндра. Решение учитывает краевое условие $B_z(\rho_0) = 0$, которое получается при учете $J_0(2.41) = 0$ – приближенно первый корень J_0 . Репер цилиндрической системы удовлетворяет векторному произведению $\vec{e}_\theta \times \vec{e}_\rho = \vec{e}_z$, где $\vec{e}_{\theta,\rho,z}$ – единичные вектора. В решении Лундквиста содержится четыре варианта геометрии магнитного поля: каждому значению B_z соответствуют лево- или правовинтовая спирали. На поверхности каждого цилиндра с $\rho \leq \rho_0$ располагаются винтовые магнитные силовые линии со своим шагом. Шаг винта меняется от бесконечного на оси цилиндра до нулевого на его поверхности. Напряженность поля уменьшается монотонно в два раза по направлению от оси цилиндра к поверхности.

Решение Миллера и Тернера

105 Миллер и Тернер рассчитали магнитное поле в торе [1981]. При расчете использована
 106 квазитороидальная система координат, координаты которой связаны с декартовыми
 107 координатами соотношениями

$$\begin{aligned} 108 \quad x &= (R + \rho \cos \theta) \cos \varphi, \\ 109 \quad y &= (R + \rho \cos \theta) \sin \varphi, \\ 110 \quad z &= \rho \sin \theta, \end{aligned} \quad (2)$$

111 где R – радиус оси тора, которая лежит в плоскости XOY ; ρ – расстояние от оси тора в плоскости
 112 поперечной оси, $0 \leq \rho \leq \rho_0$, ρ_0 – радиус поперечного сечения тора; θ – угол в этой плоскости,
 113 отсчитывается от XOY по направлению к оси Z ($0 \leq \theta \leq 2\pi$); φ – угол этой плоскости,
 114 отсчитывается от оси X по направлению к оси Y ($0 \leq \varphi \leq 2\pi$). Центр декартовой системы
 115 координат совпадает с центром тора. Репер квазитороидальной системы координат
 116 удовлетворяет векторному произведению $\vec{i}_\theta \times \vec{i}_\rho = \vec{i}_\varphi$, где $\vec{i}_{\rho, \varphi, \theta}$ – единичные вектора. Выбор
 117 репера влияет на вид оператора набла в 1-ом уравнении системы (1).

118 При учете симметрии вдоль оси тора ($\partial/\partial\varphi=0$) решение можно представить в виде

$$\begin{aligned} 119 \quad B_\rho &= \frac{A}{2\alpha R} J_0 \sin \theta, \\ 120 \quad B_\theta &= -A \left[J_1 - \frac{1}{2\alpha R} (J_0 + \alpha \rho J_1) \cos \theta \right], \\ 121 \quad B_\varphi &= A \left(1 - \frac{\rho \cos \theta}{2R} \right) J_0. \end{aligned} \quad (3)$$

122 Обозначения в (3) совпадают с обозначениями в решении Лундквиста. Решение (3) при $R \rightarrow \infty$
 123 совпадает с решением Лундквиста. Оно является приближенно бессильным (предполагается
 124 $\rho_0/R \ll 1$) и удовлетворяет уравнению $\vec{\nabla} \times \vec{B} = \alpha \vec{B} + \vec{H}$, где \vec{H} – невязка. Невязку можно
 125 вычислить, если подставить решение (3) в это уравнение. В результате получаем $\vec{H} =$
 126 $-1.5(AJ_0 \rho \cos \theta (\vec{i}_\rho \sin \theta + \vec{i}_\theta \cos \theta) / R(R + \rho \cos \theta))$. Решение (3) также приближенно
 127 удовлетворяет условию соленоидальности $\vec{\nabla} \cdot \vec{B} = 3AJ_1 \rho \sin \theta \cos \theta / 2R(R + \rho \cos \theta)$. Используя
 128 соотношения (2), получим метрические коэффициенты $h_\rho = 1$, $h_\theta = \rho$, $h_\varphi = R + \rho \cos \theta$.

129 Для представления разных проекций магнитного поля, либо при использовании
 130 компонент магнитного поля в расчетах, или при сопоставлении MFR с измерениями
 131 приходится использовать решения в разных системах координат. Для определения компонент
 132 поля в нужной системе необходимо определить компоненты в декартовой системе координат,
 133 поскольку эта система является связующей между различными системами координат. Для
 134 расчета компонент магнитного поля в декартовой системе необходимо использовать связь
 135 между компонентами в разных системах. Представим линейный вектор $d\vec{r}$ в двух системах
 136 $d\vec{r} = \vec{i}_x dx + \vec{i}_y dy + \vec{i}_z dz = \vec{i}_\rho h_\rho d\rho + \vec{i}_\varphi h_\varphi d\varphi + \vec{i}_\theta h_\theta d\theta$. Вычислим дифференциалы dx , dy ,
 137 dz через $d\rho$, $d\varphi$, $d\theta$, используя (2), и подставим в это соотношение. С учетом независимости
 138 дифференциалов получим

$$\begin{aligned}
139 \quad \vec{l}_\rho &= \vec{l}_x \cos\theta \cos\varphi + \vec{l}_y \cos\theta \sin\varphi + \vec{l}_z \sin\theta, \\
140 \quad \vec{l}_\varphi &= -\vec{l}_x \sin\varphi + \vec{l}_y \cos\varphi, \\
141 \quad \vec{l}_\theta &= -\vec{l}_x \sin\theta \cos\varphi - \vec{l}_y \sin\theta \sin\varphi + \vec{l}_z \cos\theta.
\end{aligned} \tag{4}$$

142 Представим вектор относительно 2-х систем координат $\vec{B} = \vec{l}_x B_x + \vec{l}_y B_y + \vec{l}_z B_z =$
143 $\vec{l}_\rho B_\rho + \vec{l}_\theta B_\theta + \vec{l}_\varphi B_\varphi$ и, используя (4), получим

$$\begin{aligned}
144 \quad B_x &= B_\rho \cos\theta \cos\varphi - B_\varphi \sin\varphi - B_\theta \sin\theta \cos\varphi, \\
145 \quad B_y &= B_\rho \cos\theta \sin\varphi + B_\varphi \cos\varphi - B_\theta \sin\theta \sin\varphi, \\
146 \quad B_z &= B_\rho \sin\theta + B_\theta \cos\theta.
\end{aligned} \tag{5}$$

147 Для определения формы магнитной силовой линии используем определение $d\vec{l} =$
148 $\vec{B} dl / B$. Здесь $d\vec{l}$, dl – вектор и длина элемента силовой линии; \vec{B} , B – вектор и величина
149 напряженности магнитного поля. Из определения следуют

$$\begin{aligned}
150 \quad d\rho &= B_\rho dl / h_\rho B, \\
151 \quad d\theta &= B_\theta dl / h_\theta B, \\
152 \quad d\varphi &= B_\varphi dl / h_\varphi B.
\end{aligned} \tag{6}$$

153 Построение магнитной силовой линии происходит согласно рекуррентной
154 процедуре: выбираем (ρ, θ, φ) ; вычисляем согласно (3) $B_\rho, B_\theta, B_\varphi$; вычисляем $d\rho, d\theta, d\varphi$
155 согласно (6); в новой точке $\rho+d\rho, \theta+d\theta, \varphi+d\varphi$ вычисляем $B_\rho, B_\theta, B_\varphi$ и т.д. Для определения
156 силовой линии в декартовой системе используем (2) и (5).

157 На рисунках 1а, 1б представлены свойства магнитного поля для решения Миллера и
158 Тернера. На рисунке 1а приведены распределение относительной величины напряженности
159 поля (B/B_0) в плоскости поперечного сечения тора и проекции силовых линий поля,
160 расположенных на поверхности тороидов с разными радиусами, на эту плоскость. На рисунке
161 1б изображены проекции силовых линий поля на плоскость XOY, расположенных на
162 поверхности разных тороидов. Здесь в качестве тороидов обозначены тороидальные
163 поверхности с радиусами $\rho_T < \rho_0$, вложенные вовнутрь тора. Как видно из рисунка, силовые
164 линии поля лежат на поверхности каждого тороида. При этом, силовые линии представляют
165 винтовые кривые с шагом, зависящим от радиуса тороида: чем меньше радиус, тем больше
166 шаг. Отмеченные свойства являются характерными свойствами бессилового магнитного поля.
167 Из рисунка 1а видно, что ось поля немного смещена от центра поперечного сечения в
168 направлении от центра тора. В то же время, максимальная величина напряженности поля
169 смещена к центру тора. Величина напряженности поля меняется в два раза. Результаты расчета,
170 представленные на рисунках 1а-1е, получены при $R/\rho_0 = 10$, $A = B_0$, $\alpha = 2.41/\rho_0$. Всего
171 возможно четыре варианта геометрии магнитного поля, также как в решении Лундквиста.

172 Варианты магнитного поля различаются между собой знаками компонент поля, однако на
 173 проекции силовых линий, изображенных на рисунках 1а-1е, это различие не влияет.

174

175 **Модифицированное решение Миллера и Тернера**

176 Ромашетс и Вандас [2003b] модифицировали решение Миллера и Тернера. Вводится
 177 вектор-потенциал модифицированного решения $\vec{A}^{(m)} = \frac{1}{\alpha} \vec{B}$, где \vec{B} – решение Миллера и
 178 Тернера (3). Тогда $\vec{B}^{(m)} = \vec{\nabla} \times \vec{A}^{(m)} = \frac{1}{\alpha} \vec{\nabla} \times \vec{B} = \frac{1}{\alpha} (\alpha \vec{B} + \vec{H}) = \vec{B} + \frac{\vec{H}}{\alpha}$, где $\vec{B}^{(m)}$ –
 179 напряженность модифицированного поля, \vec{H} – невязка решения Миллера и Тернера.
 180 Используя решение (3) получим компоненты модифицированного поля

$$\begin{aligned} 181 \quad B_{\rho}^{(m)} &= \frac{AJ_0 \sin \theta}{2\alpha R} \frac{(R - 2\rho \cos \theta)}{(R + \rho \cos \theta)}, \\ 182 \quad B_{\theta}^{(m)} &= \frac{A}{2\alpha R(R + \rho \cos \theta)} [2\alpha R^2 J_1 - R \cos \theta (J_0 - \alpha \rho J_1) + \rho (2J_0 - \alpha \rho J_1) \cos^2 \theta], \quad (7) \\ 183 \quad B_{\varphi}^{(m)} &= AJ_0 (1 - \rho \cos \theta / 2R). \end{aligned}$$

184 Обозначение величин совпадают с обозначениями в (3). Модифицированное решение
 185 также является приближенным ($\rho_0/R \ll 1$) и точно удовлетворяет условию соленоидальности.
 186 Построение магнитных силовых линий производится также, как в решении Миллера и
 187 Тернера.

188 На рисунках 1в, 1г аналогичных 1а, 1б приведено распределение свойств магнитного
 189 поля для модифицированного решения Миллера и Тернера. Из сопоставления рисунков видно,
 190 что свойства магнитного поля в решении Миллера, Тернера и в модифицированном решении
 191 Миллера, Тернера отличаются незначительно.

192

193 **Решение Ромашетса и Вандаса**

194 При расчете магнитного поля в торе использована тороидальная система координат
 195 [Romashets, Vandas, 2003a], параметры которой связаны с параметрами декартовой системы
 196 соотношениями

$$\begin{aligned} 197 \quad x &= \frac{a \sinh(\mu) \cos \varphi}{\cosh(\mu) - \cos \eta}, \\ 198 \quad y &= \frac{a \sinh(\mu) \sin \varphi}{\cosh(\mu) - \cos \eta}, \quad (8) \\ 199 \quad z &= \frac{a \sin \eta}{\cosh(\mu) - \cos \eta}. \end{aligned}$$

200 Здесь a – параметр системы координат, который задается размерами выбранного тора
 201 $\rho_0 = a / \sinh(\mu_0)$, $R = a \cosh(\mu_0) / \sinh(\mu_0)$, $R / \rho_0 = \cosh(\mu_0)$, $a = \sqrt{R^2 - \rho_0^2} =$
 202 $\rho_0 \sqrt{(R / \rho_0)^2 - 1}$, ρ_0 , R – радиусы поперечного сечения тора и оси тора; $\sinh(\mu)$, $\cosh(\mu)$ –

гиперболические синус и косинус. Область определения параметров: $\mu \geq \mu_0$, $0 \leq \eta \leq 2\pi$, $0 \leq \varphi \leq 2\pi$, где μ_0 , соответствует поверхности выбранного тора.

Решение задачи можно представить в виде

$$\begin{aligned} B_\mu &= 0, \\ B_\eta &= -A \frac{\varepsilon \cosh(\mu)(\cosh(\mu) - \cos\eta)}{2\sinh^3(\mu)} F_1, \\ B_\varphi &= A \frac{\cosh(\mu) - \cos\eta}{\sinh(\mu)} F_0, \end{aligned} \quad (9)$$

где $F_0 = F(\alpha_0, \beta_0, \gamma_0, \xi)$, $F_1 = F(1 + \alpha_0, 1 + \beta_0, 1 + \gamma_0, \xi)$ – гипергеометрические функции, $\alpha_0 = (1 + \sqrt{1 - 4\varepsilon^2})/4$, $\beta_0 = (1 - \sqrt{1 - 4\varepsilon^2})/4$, $\gamma_0 = 1$, $\xi = -\sinh^{-2}(\mu)$.

В тороидальной системе координат все поверхности с $\mu = \text{const}$ являются координатными поверхностями – тороидами. При это поверхность с $\mu = \mu_0$ совпадает с поверхностью выбранного тора, а поверхности с $\mu > \mu_0$ описывают тороиды, вложенные вовнутрь выбранного тора. Поверхность с $\mu \rightarrow \infty$ вырождается в ось тора. Решение (9) представляет магнитное поле, имеющее две компоненты, силовые линии которого расположены на поверхности тороидов. Величина ε определяется из соотношения $F_0(\alpha_0, \beta_0, \gamma_0, -\sinh^{-2}(\mu_0)) = 0$. Как видно из (9), в этом случае B_φ на поверхности тора обратится в нуль. Это условие аналогично использованию первого корня $J_0(2.41) = 0$ в решении Лундквиста.

Связь между компонентами поля в декартовой и тороидальной системах получаем из соотношения

$$\vec{B} = \vec{t}_x B_x + \vec{t}_y B_y + \vec{t}_z B_z = \vec{t}_\eta B_\eta + \vec{t}_\varphi B_\varphi,$$

где учтено, что поле в тороидальной системе имеет 2 компоненты ($B_\mu = 0$). Орты систем координат связаны соотношениями

$$\vec{t}_\eta = \frac{1}{h_\eta} (\vec{t}_x \frac{\partial x}{\partial \eta} + \vec{t}_y \frac{\partial y}{\partial \eta} + \vec{t}_z \frac{\partial z}{\partial \eta}), \vec{t}_\varphi = \frac{1}{h_\varphi} (\vec{t}_x \frac{\partial x}{\partial \varphi} + \vec{t}_y \frac{\partial y}{\partial \varphi}),$$

где $h_\eta = a/(\cosh(\mu) - \cos\eta)$, $h_\varphi = a \sinh(\mu)/(\cosh(\mu) - \cos\eta)$ – метрические коэффициенты. Частные производные вычисляем, используя (8). В результате получаем

$$\begin{aligned} B_x &= B_\eta \sinh(\mu) \sin\eta \cos\varphi / (\cosh(\mu) - \cos\eta) - B_\varphi \sin\varphi, \\ B_y &= B_\eta \sinh(\mu) \sin\eta \sin\varphi / (\cosh(\mu) - \cos\eta) + B_\varphi \cos\varphi, \\ B_z &= B_\eta (\cosh(\mu) \cos\eta - 1) / (\cosh(\mu) - \cos\eta). \end{aligned} \quad (10)$$

Магнитные силовые линии определяем из соотношения

$$d\vec{l} = \vec{t}_x dx + \vec{t}_y dy + \vec{t}_z dz = (\vec{t}_x B_x + \vec{t}_y B_y + \vec{t}_z B_z) dl / B,$$

где $dl = \sqrt{dx^2 + dy^2 + dz^2}$, $B = \sqrt{B_x^2 + B_y^2 + B_z^2}$.

На рисунках 1д, 1е приведено то же самое, что на рисунках 1а, 1б. Как видно, область

235 максимальной величины напряженности поля смещена к центру тора. При этом величина
236 напряженности поля во внутренней области меняется в 10 раз.

237

238 **Интегральная модель**

239 Ромашетс и Вандас сконструировали тороидальное поле [2009], используя решение
240 Лундквиста. Вводится образующий тор с ρ_0 – радиусом поперечного сечения и R – радиусом
241 оси тора. Ось тора расположена в плоскости XOY лабораторной декартовой системы координат
242 и центр тора совпадает с центром системы. Вводятся вспомогательные цилиндры с радиусом
243 поперечного сечения ρ_0 , оси которых лежат в плоскости XOY и являются касательными к
244 окружности радиуса R – оси тора. Магнитное поле в цилиндре и за его пределами является
245 решением Лундквиста.

246 Тороидальное поле образуется суммой полей вспомогательных цилиндров с угловым
247 размером $d\varphi$:

248
$$B_x = A \int_0^{2\pi} (J_1 z \cos\varphi / \rho - J_0 \sin\varphi) d\varphi,$$

249
$$B_y = A \int_0^{2\pi} (J_1 z \sin\varphi / \rho + J_0 \cos\varphi) d\varphi, \quad (11)$$

250
$$B_z = -A \int_0^{2\pi} (J_1 (x \cos\varphi + y \sin\varphi - R) / \rho) d\varphi, \text{ где } \rho = \sqrt{z^2 + (x \cos\varphi + y \sin\varphi - R)^2}.$$

251 Решение Лундквиста является бессильным полем с постоянной величиной α , все поля
252 вспомогательных цилиндров являются бессильными полями с такой же величиной α ,
253 следовательно, линейная сумма полей (11) является бессильным полем с той же величиной α .

254 Свойства магнитного поля изображены на рисунках 1ж, 1з при $R = 6$, $\alpha = 2.41$, $\rho_0 =$
255 1. Как видно, магнитное поле расположено за пределами образующего тора (максимальный и
256 минимальный радиусы тора относительно его центра равны 7 и 5, соответственно), проекции
257 силовых линий поля на поперечное сечение заметно отличаются от круговых. Величина
258 напряженности поля меняется в 5 раз. Параметры образующего тора не определяют
259 однозначно объем области, занятой магнитным полем, и ее форму. На других расстояниях
260 компоненты поля (11) представляют магнитные поля, отличающиеся от изображенного на
261 рисунках 1ж, 1з по объему области и форме.

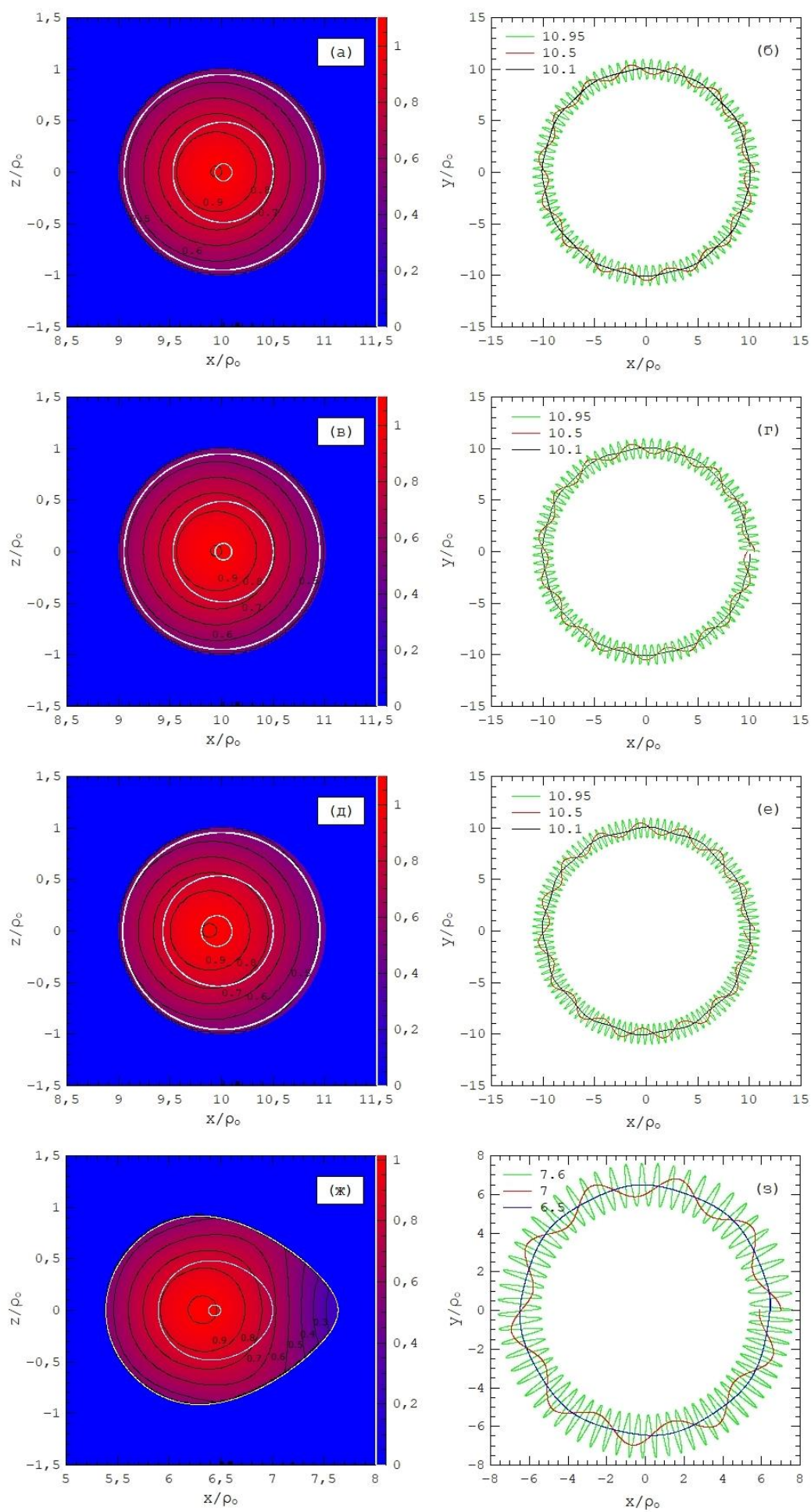


Рисунок 1. Распределение относительной напряженности магнитного поля (B/B_0) в плоскости, поперечной оси тора, в решении Миллера и Тернера (1а); модифицированного решения Миллера и Тернера (1в); в тороидальном (1д) и интегральном (1ж) решениях Ромашеца и Вандаса, соответственно. Цвет определяет величину напряженности согласно шкале, приведённой на правой стороне рисунков. Черные кривые и цифры возле них – изолинии напряженности. Белые кривые – проекции силовых линий поля для 3-х вариантов, различающихся x -координатой начала силовой линии. Для рисунков 1а, 1в, 1д координаты начальной точки силовых линий $y = 0, z = 0, x/\rho_0 = 10.95, 10.5, 10.1$. Для рисунков 1ж, 1з координаты начальной точки силовых линий $y = 0, z = 0, x/\rho_0 = 7.6, 7, 6.5$. На рисунках 1б, 1г, 1е, 1з представлены проекции магнитных силовых линий на плоскость XOY для тех же 3-х вариантов. Варианты различаются цветом силовых линий, отмеченных в левом верхнем углу.

Модель Криттинама и Руффоло

Криттинам и Руффоло представили аналитическую модель магнитного поля в петле, изображающей магнитное облако [2009]. Использована квазитороидальная система координат, как в модели Миллера и Тернера (2). В модельном расчете принято $R = 0.5r_e$, $\rho_0 = 0.1r_e$, где r_e – астрономическая единица. В этом случае ось при $\varphi = \pi$, $x/r_e = -0.5$ проходит через Солнце и при $\varphi = 0$, $x/r_e = 0.5$ проходит через Землю. Форма магнитных силовых линий задается двумя соотношениями

$$\rho = d \cos(\varphi/2), \quad \theta = w\pi e^{-d/d_0} \sin(\varphi/2) + \theta_0, \quad (12)$$

где $0 \leq \varphi \leq 2\pi$, $0 \leq \theta \leq 2\pi$, $0 \leq d \leq \rho_0$. Каждая силовая линия определяется величинами d , θ_0 при $\varphi = 0$. Из 1-го соотношения (12) следует, что площадь поперечного сечения петли стремится к нулю при приближении к Солнцу. Величина w равна полному количеству оборотов по углу θ силовой линии, расположенной вблизи оси – спиральность силовой линии. Знак w определяет лево- или правовинтовую спиральность силовых линий магнитного поля: при $w > 0$ левовинтовая спиральность и наоборот. Экспоненциальный множитель во 2-м соотношении (12) посредством множителя d_0 учитывает изменение спиральности при удалении от оси. Построение силовых линий производится также как в модели Миллера и Тернера. С учетом соотношений (12) вычисляем дифференциалы $d\rho = -(d/2) \sin(\varphi/2)d\varphi$, $d\theta = (w\pi/2) e^{-d/d_0} \cos(\varphi/2)d\varphi$, которые используем в рекуррентной процедуре. Для расчета компонент магнитного поля учитываем связь между формой силовых линий и компонентами

$$B_\rho = (B_\varphi/h_\varphi)d\rho/d\varphi, \quad B_\theta = (B_\varphi/h_\theta)d\theta/d\varphi.$$

Для B_φ использовано выражение $B_\varphi = B_0/[(d^2/d_0^2 + 1)^{3/2} \cos^2(\varphi/2)]$, которое

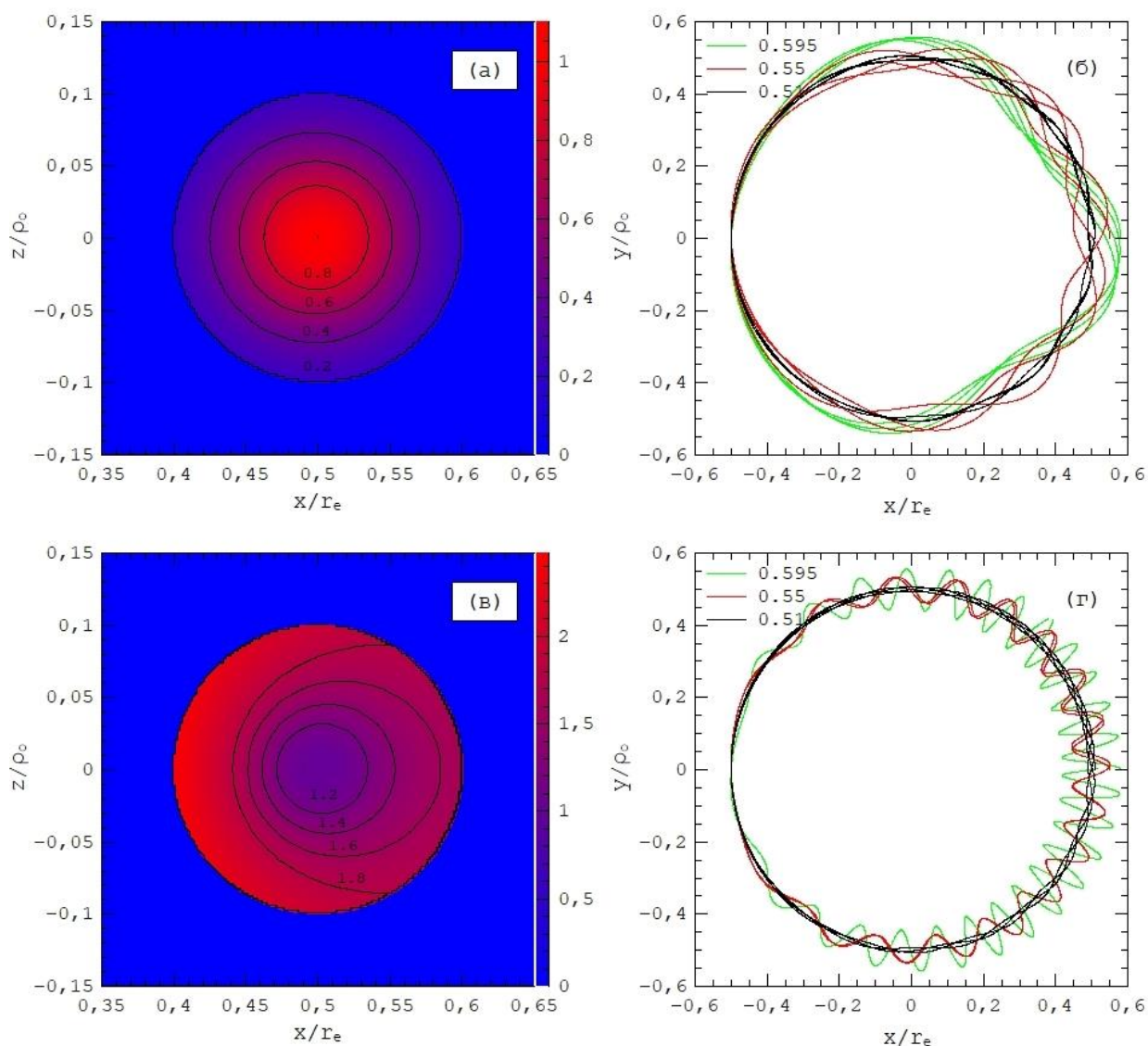
297 учитывает сохранение магнитного потока через поперечное сечение петли. С учетом 1-го
 298 соотношения из (12) получаем

$$299 \quad B_\rho = -\frac{B_0}{2} \sin\left(\frac{\varphi}{2}\right) F \frac{\rho}{R+\rho \cos\theta},$$

$$300 \quad B_\varphi = B_0 \cos\left(\frac{\varphi}{2}\right) F,$$

$$301 \quad B_\theta = \frac{B_0 w \pi}{2} \cos^2\left(\frac{\varphi}{2}\right) F \frac{\rho}{R+\rho \cos\theta} e^{-\rho/[d_0 \cos(\varphi/2)]}, \text{ где } F = [\rho^2/d_0^2 + \cos^2(\varphi/2)]^{-3/2}.$$

302 На рисунках 2а, 2в изображены распределения напряженности магнитного поля на
 303 плоскость, поперечную оси. Проекции силовых линий представляют собой окружности с
 304 центром, совпадающим с осью. На рисунках 2б, 2г приведены проекции 3 силовых линий,
 305 расположенных на разных расстояниях от оси, на плоскость X0Y. В расчете использовано $R =$
 306 $0.5r_e$, $\rho_0 = 0.1r_e$, $w = 8$, $d_0 = 0.07$. Как видно из рисунков 2а, 2б распределение
 307 напряженности поля соответствует бессиповому, тогда как распределение спиральности – нет.
 308 Если изменить знак показателя экспоненциального множителя во 2-ом соотношении (12), тогда
 309 максимумы напряженности и спиральности поля будут на поверхности петли (рисунки 2в, 2г).



311 *Рисунок 2.* Распределение относительной напряженности магнитного поля (B/B_0) в
312 плоскости, поперечной оси петли (2а, 2в). Цвет определяет величину напряженности согласно
313 шкале, приведённой на правой стороне рисунков. Черные кривые и цифры возле них –
314 изолинии напряженности. На рисунках 2б, 2г представлены проекции магнитных силовых
315 линий на плоскость XOY для 3 силовых линий, различающихся x -координатой начала силовой
316 линии $y = 0, z = 0, x/r_e = 0.595, 0.55, 0.51$.

317

318 ЗАКЛЮЧЕНИЕ

319 Приближенное решение Миллера, Тернера ($\rho_0/R \ll 1$) описывает структуру
320 магнитного поля в торе. Всего возможны четыре варианта структуры поля: на \pm компоненту
321 поля вдоль оси тора лево- и правовинтовые спирали. Свойства магнитного поля соответствуют
322 аналогичным свойствам поля в цилиндрической модели Лундквиста. Напряженность поля
323 максимальна на оси тора и в 2 раза превышает напряженность на боковой поверхности.
324 Спиральность поля максимальна на поверхности тора. Модифицированное решение Миллера
325 и Тернера точно удовлетворяет условию соленоидальности. Свойства магнитного поля в
326 решении Миллера, Тернера и модифицированном решении Миллера, Тернера различаются
327 незначительно. Установлено, что приближенное решение Миллера и Тернера достаточно
328 хорошо соответствует точному решению бессилового поля в торе вплоть до $\rho_0/R \leq 0.5$
329 [Vandas, Romashets, 2015].

330 Существенно ассиметричное распределение свойств магнитного поля получается в
331 тороидальной модели Ромашетса и Вандаса. Асимметрия распределения сильно зависит от
332 величины R/ρ_0 : при уменьшении величины асимметрия возрастает. В интегральной модели
333 результирующее магнитное поле выходит за пределы образующего тора, распределение
334 напряженности поля сильно неоднородное. Параметры образующего тора не определяют
335 однозначно объем области, занятой магнитным полем, и ее форму. На других расстояниях
336 компоненты поля (11) представляют магнитные поля, отличающиеся от изображенного на
337 рисунках 1ж, 1з по объему области и форме. В аналитической модели Криттинама и Руффоло
338 представлены компоненты магнитного поля в петле, изображающей магнитное облако.
339 Площадь поперечного сечения петли стремится к нулю при приближении к Солнцу.
340 Магнитные силовые линии имеют лево- или правовинтовую спиральность. Напряженность
341 магнитного поля и спиральность силовых линий уменьшаются в направлении от оси петли к
342 ее поверхности.

343 Для описания магнитных полей в магнитных облаках лучше подходят тороидальные
344 модели Миллера, Тернера и Ромашетса, Вандаса.

345 Реализованные программные коды для пяти моделей магнитного поля с пояснениями

346 доступны по адресу XXX. При использовании кодов необходимо ссылаться на данную статью.

347

348 Работа выполнена при финансовой поддержке гранта Российского фонда
349 фундаментальных исследований №18-32-0064 мол_а, Министерства образования и науки
350 Российской Федерации и Сибирского отделения Российской академии наук (Проект П.16.2.2.).

351

352 СПИСОК ЛИТЕРАТУРЫ

353 Петухова А.С., Петухов И.С., Петухов С.И. Форбуш-понижение космических лучей в
354 тороидальной модели магнитного облака // Письма в Журнал экспериментальной и
355 теоретической физики. 2015. Т. 102. № 11. С. 807

356 Burlaga L. F. Magnetic clouds and force-free fields with constant alpha // Journal of
357 Geophysical Research. 1988. V. 93(A7), P. 7217–7224.

358 Démoulin, P., Nakwacki, M.S., Dasso, S. et al. Expected in situ velocities from a
359 hierarchical model for expanding interplanetary coronal mass ejections. // Solar Physics. 2008. V.
360 250 (2), P. 347–374.

361 Farrugia C.J., Burlaga L.F., Osherovich V.A., et al. A study of an expanding interplanetary
362 magnetic cloud and its interaction with the Earth's magnetosphere: The interplanetary aspect. //
363 Journal of Geophysical Research. 1993. V. 98, P. 7621–7632.

364 Krittinatham W. and Ruffolo D. Drift orbits of energetic particles in an interplanetary magnetic
365 flux rope // Astrophysical Journal. 2009. V. 704, P. 831–841.

366 Kuwabara, T., Munakata, K., Yasue, S., et al. Geometry of an interplanetary CME on October
367 29, 2003 deduced from cosmic rays // Geophysical Research Letters. 2004. V. 31, P L19803.

368 Leitner M., Farrugia C.J., Möstl C., et al. Consequences of the force-free model of magnetic
369 clouds for their heliospheric evolution // Journal of Geophysical Research. 2007. P. 112.

370 Lepping R.P., Jones J. A., Burlaga L.F. Magnetic field structure of interplanetary magnetic
371 clouds at 1 AU // Journal of Geophysical Research. 1991, V. 95, P. 11957–11965.

372 Lundquist S. Magnetohydrostatic fields // Ark. Fys. 1950, V. 2, P. 361.

373 Marubashi K. and Lepping R. P. Long-duration magnetic clouds: a comparison of analyses
374 using torus- and cylinder-shaped flux rope models // Annals of Geophysics. 2007. V. 25, P. 2453–
375 2477.

376 Miller G., Turner L. Force free equilibria in toroidal geometry // Physics of Fluids. 1981. V.
377 24, P. 363–365.

378 Romashets E. P., Vandas M. Force-free field inside a toroidal magnetic cloud // Geophysical
379 Research Letters. 2003a. V. 30, P. 2065–2069.

380 Romashets E. P., Vandas M. Interplanetary magnetic clouds of toroidal shapes // Proceedings
381 of International Solar Cycle Studies (ISCS) 2003 Symposium. 2003b. P. 535–540
382 Romashets E. P., Vandas M. Linear force-free field of a toroidal symmetry // Astronomy and
383 Astrophysics. 2009. V. 499, P. 17–20.
384 Vandas M., Romashets E. P. Comparative study of a constant-alpha force-free field and its
385 approximations in an ideal toroid // Astronomy and Astrophysics. 2015. V. 580, P. A123.